

# کنترل نیمهفعال فازی سازه‌های مجاور متصل شده با میراگر سیال مغناطیسی تحت زلزله‌های حوزه دور و نزدیک

محسن بهمنی<sup>۱</sup>، سید مهدی زهرایی<sup>۲\*</sup>

۱- دانشآموخته کارشناسی ارشد، مهندسی سازه، دانشگاه تهران

۲- استاد دانشکده مهندسی عمران، دانشکدگان فنی دانشگاه تهران

mzahrai@ut.ac.ir<sup>\*</sup>

تاریخ دریافت: ۱۴۰۱/۳/۲۵

تاریخ پذیرش: ۱۴۰۰/۸/۳

## چکیده

خرابی‌های ناشی از برخورد سازه‌های مجاور در زلزله‌های بزرگ گذشته، اهمیت سیستم‌های کنترل سازه را برای کاهش خطر لرزه‌ای ناشی از برخورد سازه‌ها نشان داده است. اتصال ساختمان‌های مجاور با دستگاه‌های اتلاف انرژی، یک رویکرد عملی و موثر برای جلوگیری از برخورد و همچنین کاهش پاسخ‌های لرزه‌ای سازه‌ها است و این موضوع در سال‌های اخیر، یک زمینه تحقیقاتی مدنظر بوده است. در این مطالعه، برای شناخت عملکرد میراگر سیال مغناطیسی با استفاده از سیستم کنترل فازی، سازه‌های معیار سه و نه طبقه تحت تحریک لرزه‌ای دو زلزله حوزه نزدیک و دو زلزله حوزه دور با بیشینه شتاب‌های  $1g$  تا  $0.1g$  بررسی می‌شود. میراگر سیال مغناطیسی در تراز طبقه سوم دو سازه متصل شده است و ظرفیت تولید نیروی کنترلی معادل  $1000$  کیلونیوتون را دارد. سیستم فازی بر اساس جایه‌جایی طبقه سوم دو سازه با هدف کاهش خطر برخورد سازه‌ها و همچنین کاهش پاسخ‌های لرزه‌ای طراحی شده است. به صورت کلی سیستم کنترلی طراحی شده تحت زلزله‌های حوزه دور در مقایسه با زلزله‌های حوزه نزدیک، عملکرد مناسب‌تری در کاهش پاسخ‌های دو سازه از خود نشان داده است و از دیدگاه کاهش احتمال برخورد سازه‌ها، سیستم فازی مورد استفاده تحت زلزله‌های حوزه دور نسبت به حوزه نزدیک،  $97\%$  درصد عملکرد بهتری از خود نشان داده است.

**واژگان کلیدی:** کنترل ارتعاشات، کنترل نیمهفعال، میراگر سیال مغناطیسی، سیستم کنترل فازی، سازه‌های مجاور

## ۱- مقدمه

کاهش فرکانس‌های طبیعی آنها می‌شود. در ساختمان‌های انعطاف‌پذیر با میرایی کم، پاسخ‌های دینامیکی به راحتی تحت تحریک شدید زمین و بار باد تقویت می‌شوند و به دلیل با پیشرفت در فن آوری ساخت و ساز، سازه‌ها در اندازه‌های بزرگ‌تر و با ارتفاع بیشتر ساخته می‌شوند که این امر موجب

سازه‌ها وصل می‌کند نیز درنظر گرفته شد. نتایج این تحقیق نشان داد که میراگرهای MR و ER بطور موثری اثر ضربه شلاقی را کاهش داده و باعث کاهش پاسخ لرزه‌ای هر دو سازه می‌شوند.

نی<sup>۵</sup> و همکاران [2] در سال ۲۰۰۲ با یک تحقیق آزمایشگاهی تاثیر کنترل نیمهفعال با میراگر MR در سازه‌های مجاور را بررسی کردند. در این بررسی مدل دو سازه مجاور با تعداد طبقات هشت و دوازده و با مقیاس ۱:۱۵ مورد بررسی قرار گرفت و برای اعمال تحریک زلزله از میز لرزان استفاده شد. در این تحقیق، استراتژی کنترل بهینه تصادفی پیش گرفته شد و تاثیر استفاده از میراگر در طبقات مختلف مورد بررسی قرار گرفت. نتایج این کار آزمایشگاهی نشان داد که برای همه آزمایش‌ها استفاده از کنترل نیمهفعال بسیار موثرتر از کنترل غیرفعال بوده که نشان از موثر بودن کنترل نیمهفعال با میراگر MR برای کاهش پاسخ لرزه‌ای سازه‌های مجاور دارد. همچنین نتایج نشان داد که قابلیت کاهش پاسخ لرزه‌ای وقتی میراگر در بالاترین طبقه سازه با تعداد طبقه کمتر قرار می‌گیرد، بهترین کارایی را دارد و هرچه محل قرارگیری میراگر در طبقات پایین‌تر باشد، کارایی کنترل نیمهفعال کمتر می‌شود.

بارتی<sup>۶</sup> و همکاران [3] در سال ۲۰۱۰ موثر بودن میراگر MR برای کاهش پاسخ لرزه‌ای سازه‌های چندطبقه مجاور را تحت استراتژی‌های مختلف از قبیل کنترل نیمهفعال، غیرفعال با ولتاژ صفر و غیرفعال با ولتاژ غیر صفر ثابت اعمالی بررسی کردند. نتایج تحقیق نشان داد که از بین سه استراتژی بررسی شده، استراتژی کنترل نیمهفعال از همه موثرتر بوده و در کل هر سه استراتژی در کنترل پاسخ موثر هستند که قابلیت میراگر MR در کاهش پاسخ لرزه‌ای را نشان می‌دهد حتی وقتی که الگوریتم کنترلی به کار گرفته نمی‌شود.

شهیدزاده و همکاران [4] در سال ۲۰۱۱ استفاده از میراگر MR برای اتصال دو سازه مجاور را در حالتی که به صورت همزمان سازه بلندتر خود به میراگر MR مجهر است، بررسی

حرکات خارج از فاز دو ساختمان، ممکن است ساختمان‌های مجاور به همیگر برخورد کنند. بنابراین برای جلوگیری از این اتفاق، باید فاصله‌ای را بین دو سازه درنظر گرفت. ارتعاشات بیش از حد علاوه بر افزایش پاسخ‌ها، منجر به کاهش سرویس‌پذیری ساختمان شود که این موارد تلاش پژوهشگران برای کاهش پاسخ‌های لرزه‌ای سازه‌ها، زمینه‌های مطالعاتی زیادی برای کنترل ارتعاشات ساختمان‌ها به وجود آورده است. روش‌های کنترل ارتعاشات را می‌توان به سیستم کنترل غیرفعال، فعال و نیمهفعال طبقه‌بندی کرد. سیستم کنترل نیمهفعال ویژگی‌های سیستم غیرفعال را با ویژگی‌های سیستم کنترل فعال ترکیب می‌کند و مطالعات فراوانی اثبات کرده‌اند که سیستم کنترل نیمهفعال در کنترل ارتعاشات بزرگ ناشی از زلزله یا باد موثر است.

پاسخ‌های لرزه‌ای ساختمان‌های مجاور را می‌توان با اتصال سازه‌ها به یکدیگر با استفاده از میراگر کنترل کرد. این میراگرهای از نیروی تعاملی بین دو سازه مجاور استفاده می‌کنند و نیازی به جرم یا انرژی اضافی همچون میراگر جرمی تنظیم شده ندارند. علاوه بر این، در مجاورت تجهیزات کنترل می‌توان از فضای موجود به عنوان یک راه ارتباطی برای اتصال ساختمان‌ها استفاده کرد. در این تحقیق، از میراگر سیال مغناطیسی به عنوان و سیله کنترلی استفاده می‌شود. میراگرهای MR با منابع تغذیه‌ای کوچک قابل استفاده هستند و نیروی میراگر بسیار زیاد را تامین می‌کنند.

کیو<sup>۱</sup> و ژو<sup>۲</sup> [1] در سال ۲۰۰۱ امکان استفاده از میراگرهای MR<sup>۳</sup> و ER<sup>۴</sup> برای اتصال یک برج به سازه جانبی برای مقابله با آثار ضربه شلاقی ناشی از تغییر ناگهانی سختی جانبی سازه در محل اتصال دو سازه و همچنین کاهش پاسخ لرزه‌ای دو سازه را برسی کردند. برای این کار یک الگوریتم کنترل جابه جایی بهینه را ارائه دادند و برای درستی آزمایی یک برج بیست طبقه با سازه مجاور پنج طبقه را مورد بررسی قراردادند. لازم به ذکر است که در این تحقیق سختی عضوی که میراگر را به

5. Ni  
6. Bharti

1. Qu  
2. Xu  
3. Magneto-rheological  
4. electro-rheological

این کنترل کننده را نشان داد که باعث بهبود عملکرد لرزه ای و همچنین کاهش هزینه ها و اقتصادی تر شدن طرح شد. به عنوان یک نتیجه دیگر کاهش تعداد میراگر مورد استفاده منجر به کارایی بیشتر سیستم شد و اینگونه می توان نتیجه گرفت که برای پاسخ دینامیکی سیستم، کاهش تعداد میراگرها می تواند به صورت موثرتری نسبت به افزایش تعداد میراگر مورد بررسی قرار گیرد. شریمالی<sup>۹</sup> و همکاران [۸] در سال ۲۰۱۵ مقایسه ای بین عملکرد سیستم کنترل نیمه فعال و هیبرید برای کنترل پاسخ سازه های مجاور انجام دادند. در این تحقیق از میراگر MR و جدأگر لرزه ای الاستومتریک استفاده شد و نتایج تحقیق نشان داد که استراتژی کنترل هیبرید ارائه شده نسبت به کنترل نیمه فعال در کاهش پاسخ های لرزه ای موثر بوده و همچنین در مقابله با برخورد دو سازه موثرتر است.

عبدالایم<sup>۱۰</sup> و همکاران [۹] در سال ۲۰۱۷ امکان مقاوم سازی یک سازه ضعیف تر با اتصال آن به سازه قوی تر را بررسی نمودند. در این تحقیق یک سازه ده طبقه ضعیف تر به سازه مجاور قوی تر که از طریق میراگر MR متصل شده و کنترل ارتعاشات با استفاده از کنترل کننده فازی انجام شد. نتایج تحقیق نشان داد که این استراتژی در مقاوم سازی سازه ضعیف از نظر تغییر مکان، برش پایه و گریز سازه بسیار موثر است و همچنین در کاهش احتمال برخورد دو سازه نیز بسیار موثر است. الفهداوي<sup>۱۱</sup> و همکاران [۱۰] در سال ۲۰۱۸ کاهش پاسخ های لرزه ای سازه های مجاور چند طبقه که از طریق میراگر MR به هم متصل شده اند را با استفاده از روش کنترل سازگار ساده (SAC<sup>۱۲</sup>) بررسی کردند. در این بررسی، کاهش جرم و سختی به عنوان نتیجه ای از خرابی در سیستم سازه ای در نظر گرفته شد و کارایی این کنترل کننده در حالت وجود خرابی و همچنین حالتی که هنوز سالم است، بررسی شد. نتایج این تحقیق، موثر بودن استفاده از این کنترل کننده را نشان داد و

کردند. کنترل کننده مورداستفاده در این تحقیق، کنترل کننده فازی بوده و نتایج تحقیق نشان داد که کنترل بکار گرفته شده در کاهش پاسخ ها موثر بوده و باعث کاهش قابل توجه بیشترین جابه جایی و شتاب به صورت همزمان می شود.

کیم<sup>۱</sup> و کنگ<sup>۲</sup> [۵] در سال ۲۰۱۱ در تحقیق خود، یک مدل کنترل هیبرید میراگر MR را برای کاهش پاسخ لرزه ای سازه های مجاور بکار برندند. این مدل در واقع ترکیبی از مدل های Skyhook و Groundhook کنترل از موثر بودن این کنترل در کاهش پاسخ های لرزه ای دو سازه مجاور داشت.

مرتا<sup>۳</sup> و همکاران [۶] در سال ۲۰۱۱ در تحقیق خود، استفاده از کنترل کننده LQR<sup>۴</sup> برای کاهش پاسخ سازه های مجاور که با میراگر MR به هم متصل شده اند و تحت تحریک لرزه ای قرار دارند، بررسی کردند. در این تحقیق برای درستی آزمایش از مدل دو سازه پنج و سه طبقه استفاده شد و نتایج تحقیق نشان داد که اتصال سازه های مجاور با میراگر MR که با کنترل کننده LQR می شود، یک روش قابل اعتماد برای کاهش پاسخ لرزه ای است.

مهرمت<sup>۵</sup> و هادی<sup>۶</sup> [۷] در سال ۲۰۱۴ یک استراتژی طراحی بهینه را بر پایه الگوریتم ژنتیک برای جلوگیری از خطر برخورد دو سازه مجاور و همچنین کاهش پاسخ لرزه ای دو سازه ارائه دادند. در این تحقیق از کنترل کننده فازی برای محاسبه ولتاژ اعمالی به میراگر استفاده شد و علاوه بر این از کنترل کننده های CVL<sup>۷</sup> و LQG<sup>۸</sup> بر پایه LQR برای مقایسه نتایج بدست آمده استفاده شد. این تحقیق اهداف اصلی طراحی بهینه را اعمال می کند به صورتی که نه تنها کاهش پاسخ لرزه ای را مدنظر قرار می دهد بلکه هزینه های کلی سیستم میراگر را کاهش می دهد. برای درستی آزمایش از مدل سازه های ده و بیست طبقه متصل شده با میراگر MR استفاده شد و نتایج تحقیق موثر بودن استفاده از

8. Clipped Voltage Law

9. Shrimali

10. Abdeddaim

11. Al-Fahdawi

12. Simple Adaptive Control

1. Kim

2. Kang

3. Morta

4. Linear Quadratic Regulator

5. Mehmet

6. Hadi

7. Linear Quadratic Gaussian

تحریک چهار زلزله متفاوت در پیشینه شتاب‌های مختلف مورد بررسی و بحث قرار می‌گیرد. الگوریتم فازی یک چهارچوب ساده و در عین حال قادر تمند را برای پیاده‌سازی سیستم کنترل ارتعاش سازه‌ها با درنظرگرفتن عدم قطعیت‌ها و پیچیدگی‌های موضوع مورد بحث ارائه می‌کند که در تحقیق جاری، از قابلیت‌های منحصربه‌فرد سیستم فازی برای کنترل ارتعاشات دو سازه تحت زلزله‌های مختلف با محتوای فرکانزی متفاوت استفاده می‌شود.

## ۲- مدل‌سازی عددی و رفتار دینامیکی میراگر

در این مطالعه از سازه‌های معیار طراحی شده برای پروژه SAC<sup>۱</sup> در منطقه کالیفرنیا و لس آنجلس استفاده شده است. همان گونه که در شکل (۱) مشاهده می‌شود، دو سازه معیار سه و نه طبقه در تراز طبقه سوم از طریق میراگر سیال مغناطیسی به یکدیگر متصل شده‌اند. این سازه‌ها در نرم‌افزار اجزا محدود OpenSees مدل شده‌اند و رفتار سازه‌ای حین انجام تحلیل های دینامیکی، خطی فرض می‌شود. دوره تناوب مود غالب در سازه سه‌طبقه برابر  $1/01$  و در سازه نه طبقه برابر  $2/27$  ثانیه است [12].

از آنجایی که در این مطالعه علت اصلی استفاده از میراگر برای اتصال دو سازه، کاهش خطر برخورد دو سازه حین وقوع زلزله است و بیشترین جایه‌جایی‌ها در طبقه آخر سازه کوتاه‌مرتبه اتفاق می‌افتد، موقعیت میراگر سیال مغناطیسی در تراز طبقه آخر سازه سه‌طبقه در نظر گرفته شده است. ویژگی اصلی مایعات MR توانایی تغییر برگشت‌پذیر آن‌ها از حالت سیال ویسکوز روان به ماده نیمه‌جامد با مقاومت تسلیم قابل کنترل در چند میلی‌ثانیه است. این تغییر که با افزایش یا کاهش در شدت میدان مغناطیسی صورت می‌گیرد، آن‌ها را تبدیل به میراگرهای قابل کنترل نموده است. یکی از مزایای این نوع از میراگرها در مقابل سایر کاهنده‌های ارتعاشی نیمه‌فعال در این است که هیچ قسم متحرکی به جز پیستون‌ها نداشته و به همین علت بسیار ساده و قابل اعتماد

همچنین نشان داد که کاهش پاسخ‌ها در سازه بزرگ‌تر به نسبت سازه کوچک‌تر بیشتر است.

عظیمی و مولایی [11] در سال ۲۰۲۰ با الهام گرفتن از پدیده هوش جمعی در طبیعت، یک روش کنترل جدید، معروف به کنترل موازی مبتنی بر ازدحام (SPC<sup>۲</sup>)، برای بهبود عملکرد لرزه‌ای و به کمتر رساندن خطرات برخورد سازه‌های مجاور با به اشتراک‌گذاری داده‌های پاسخ در بین سطوح مختلف ساختمان‌های مجاور به وسیله یک شبکه از حسگرهای بی‌سیم (WSN<sup>۳</sup>، را ارائه کردند. برای تایید موثری‌بودن سیستم پیشنهادی، یک مدل عددی از سازه سه‌بعدی ۱۵ طبقه تحت رکوردهای زلزله مختلف و همچنین سیستم‌های کنترلی مانند کنترل غیرفعال، کنترل فازی، LQR و سیستم کنترل پیشنهادی بحث و بررسی شد. نتایج این پژوهش نشان داد که در صورت شکست در سیستم کنترل، و همچنین خرابی در عناصر سازه ای، روش پیشنهادی می‌تواند خرابی موجود در ساختمان را تشخیص داده و با استفاده از سیستم کنترل فازی اصلاح شده، نیروهای کنترل در ساختمان‌های مجاور دیگر را به روزرسانی کند و با به حداقل رساندن پاسخ‌ها از برخورد سازه‌ها جلوگیری کند.

در این تحقیق، استفاده از میراگر سیال مغناطیسی برای کاهش احتمال برخورد دو سازه و همچنین بهبود پاسخ‌های لرزه‌ای دو سازه تحت زلزله‌های حوزه دور و حوزه نزدیک، مورد بحث و بررسی قرار می‌گیرد. مقدار ولتاژ اعمالی به میراگر در هر لحظه توسط یک سیستم کنترل فازی طراحی شده متناسب با موضوع مورد بحث محاسبه می‌شود. در سال‌های اخیر مطالعات زیادی در زمینه استفاده از سیستم‌های هوشمند همچون سیستم کنترل فازی در بهبود عملکرد لرزه‌ای سازه‌های مجاور صورت گرفته است ولی بررسی مشخصی روی چگونگی و تفاوت عملکرد این سیستم‌های کنترل تحت زلزله‌های حوزه دور و نزدیک انجام نشده است. در این مطالعه، این امر به طور خاص و با در نظر گرفتن دو سازه مجاور تحت

برای بیشترین استفاده از ویژگی های منحصر به فرد میراگر های سیال مغناطیسی، بسیار مهم است که از مدلی استفاده کنیم که خاصیت رفتار ذاتی غیرخطی آن را بطور مناسب توصیف کند. تا به امروز مدل های زیادی ارائه شده است که در این تحقیق از مدل بوک-ون<sup>۱</sup> به دلیل سادگی و قدرت بالا در توصیف رفتار میراگر استفاده شده است. یک مدل ساده مکانیکی متشکل از یک المان بوک-ون به موازات یک میراگر ویسکوز که در شکل (۲) نمایش داده شده است، بر اساس مطالعات و آزمایشات بسیاری نشان داده شده است که قابلیت پیش بینی دقیق رفتار یک میراگر MR اولیه را در طیف وسیعی از ورودی ها دارد. همچنین نتایج بررسی های آزمایشگاهی مختلف نشان می دهد که این مدل برای شبیه سازی میراگر MR در مقیاس واقعی نیز عملکرد مناسبی از خود نشان می دهد.

شکل ۲. مدل بوک-ون برای میراگر سیال مغناطیسی [۱۳]

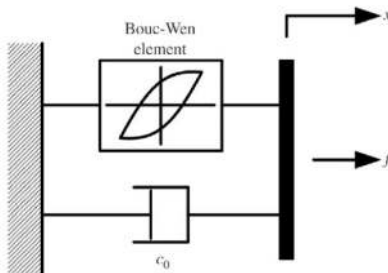


Fig. 2. Bouc-Wen model for MR damper

نیروی  $f$  تولید شده توسط میراگر MR بر اساس مدل بوک-ون از روابط (۱) و (۲) محاسبه می شود.

$$f = c_0 \dot{z} + a z \quad (1)$$

$$\dot{z} = -\gamma |\dot{z}|z|\dot{z}|^{n-1} - \beta \dot{z}|z|^n + A \ddot{z} \quad (2)$$

در روابط بالا،  $X$  و  $\dot{X}$  به ترتیب جابه جایی و سرعت میراگر MR و  $Z$  متغیر تکاملی<sup>۲</sup> است که وابستگی تاریخچه پاسخها را در نظر می گیرد. با افزودن پارامترهای  $\gamma$ ،  $\beta$ ،  $n$  و  $A$  به مدل، می توان رفتار خطی باربرداری و انتقال از ناحیه تسليم نشده به تسليم شده را در نظر گرفت. وابستگی عملکردی پارامترهای میراگر به ولتاژ موثر  $u$  در روابط (۳) و (۴) مدل شده

هستند. از ویژگی های خوب میراگر MR می توان به قابلیت استهلاک بالای انرژی، عملکرد پایدار در شرایط دمایی مختلف، نیاز به جریان و ولتاژ پایین به گونه ای که با یک باطری قابل تأمین است و پاسخ سریع در چند میلی ثانیه اشاره کرد.

شکل ۱. مدل سازه های مجاور متصل شده با میراگر سیال مغناطیسی

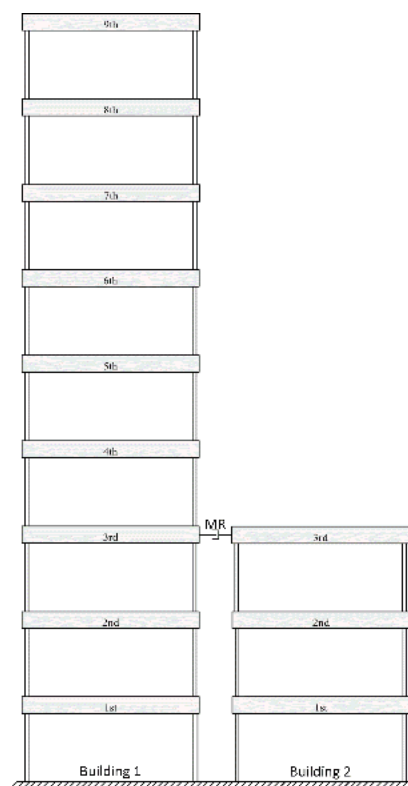


Fig. 1. Adjacent buildings structural model

در چند دهه اخیر مطالعات زیادی در مورد طراحی سیستم های حاوی مایعات مغناطیسی بیشتر برای کنترل ارتعاش و همچنین برای کاربردهای دیگر انجام شده است. با این حال، آماده سازی و نگهداری سیالات مغناطیسی با چالش های متعددی همراه است. رسوب گذاری یک چالش بزرگ است حتی وقتی که برای دوره های زمانی متوسط استفاده شود. تراکم ذرات پلاریزه شده حین استفاده، زنگ زدگی و پوسته شدن، سایر مشکلات احتمالی در استفاده از این میراگرها هستند.

### ۳- سیستم کنترل نیمهفعال

هنگامی که از یک روش کنترل مبتنی بر تئوری مجموعه‌های فازی برای کنترل ارتعاش یک میراگر استفاده می‌شود، سیستم استفاده شده دارای یک قدرت ذاتی است و مواجهه با عدم قطعیت داده‌های ورودی از حسگرها را بهبود می‌بخشد. علاوه بر این، سیستم فازی، توانایی درنظرگرفتن رفتار غیرخطی سازه را دارد زیرا در این حالت به یک مدل ریاضی دقیق از سازه مورد بررسی نیازی نیست. ایده اصلی سیستم استنتاج کنترل فازی مبتنی بر سه بخش اساسی است: فازی‌سازی<sup>۲</sup>، استنتاج قاعده فازی مشکل از قوانین اگر-آنگاه<sup>۳</sup> فازی و تفکیک فازی<sup>۴</sup> مرحله اول فازی‌سازی نامیده می‌شود که شامل تبدیل مقادیر واضح ورودی به مقادیر زبانی فازی از طریق توابع عضویت<sup>۵</sup> اختصاص یافته به هر ورودی و خروجی است. قدم بعدی در طراحی سیستم فازی، اعمال مجموعه‌ای از قوانین اگر-آنگاه می‌باشد. در این بخش، پایگاه قوانین فازی به منظور ایجاد رابطه بین متغیرهای ورودی و خروجی ایجاد می‌شود و با استفاده از سازوکار استنتاج فازی، قوانین فازی به منظور ایجاد یک خروجی بر اساس مقادیر ورودی ارزیابی می‌شوند. در مرحله آخر، خارج کردن از زبان فازی، با هدف تبدیل متغیرهای خروجی فازی به مقادیر واضح انجام می‌گیرد. عملکرد یک کنترل‌کننده فازی بستگی به پارامترهای مختلف طراحی مانند تعریف توابع عضویت و قوانین فازی دارد. علاوه بر این، تدوین قوانین فازی مؤثر و قابل اعتماد یکی دیگر از عوامل مهم برای دستیابی به عملکرد مطلوب است.

علت اصلی برخورد ساختمان‌های مجاور، ارتعاشات ناهمانگ سازه‌ها در زمان وقوع زلزله است. برای جلوگیری از ارتعاشات غیرهمسو سازه‌ها حین وقوع زلزله، قوانین فازی مورداستفاده در این تحقیق به گونه‌ای تعریف شده‌اند که سازه‌ها در هر لحظه در یک جهت یکسان حرکت کنند. به عنوان نمونه، اگر مقدار تغییرمکان ساختمان (۱)، مثبت بزرگ باشد و تغییرمکان ساختمان (۲) منفی بزرگ باشد که شامل یک لرزش

است.

$$\alpha = \alpha(u) = \alpha_a + \alpha_b u \quad (3)$$

$$c_0 = c_0(u) = c_{0a} + c_{0b} u \quad (4)$$

علاوه بر این، به علت عدم توانایی میراگر در هماهنگی آنی با ولتاژ اعمالی، برای محاسبه تأخیر زمانی در پاسخ میراگر به تغییرات ورودی، رابطه (۵) درنظر گرفته می‌شود.

$$\dot{u} = -\eta(u - v) \quad (5)$$

در رابطه بالا،  $\eta$  و  $v$  به ترتیب ولتاژ اعمالی به سیستم کنترلی و ثابت زمانی هستند. پارامترهای میراگر مورد استفاده در این تحقیق به گونه‌ای انتخاب شده‌اند که میراگر ظرفیت تولید نیروی ۱۰۰۰ کیلونیوتون را دارد و ولتاژ اعمالی به میراگر می‌تواند مقادیری بین ۰ و ۱۰ ولت را داشته باشد.

برای درستی آزمایی مدل بوک-ون استفاده شده برای شیوه سازی رفتار دینامیکی میراگر MR از نتایج رفتار میراگر مدل سازی شده در مطالعه اک<sup>۱</sup> و همکاران [۱۳] استفاده شده است. نمودار رفتار چرخه‌ای میراگر برای ولتاژهای اعمالی صفر، ۵ و ۱۰ ولت در شکل (۳) نشان داده شده است.

شکل ۳. نمودار رفتار چرخه‌ای میراگر سیال مغناطیسی

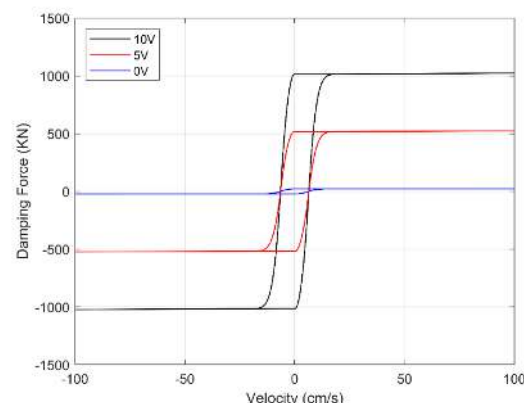


Fig. 3. The control force - velocity hysteresis loops of MR damper

- 4. Defuzzification
- 5. Membership Functions

- 1. Ok
- 2. Fuzzyfication
- 3. IF-THEN

اقتباس شده است. لازم به ذکر است که تعداد و شکل توابع عضویت با انجام سعی و خطاهای زیاد و مقایسه با دیگر حالتاً انتخاب شده‌اند.

غیرهمانگ و خطر بالای برخورد ساختمان‌ها است، در این حالت برای تولید نیروی بیشتر در میراگر، مقدار ولتاژ اعمالی بزرگ خواهد بود. مجموعه قوانین فازی مورد استفاده در این تحقیق از مطالعه عبدالدایم<sup>۱</sup> و همکاران [۱۴] در سال ۲۰۱۶

شکل ۴. روند کلی انجام تحلیل دینامیکی

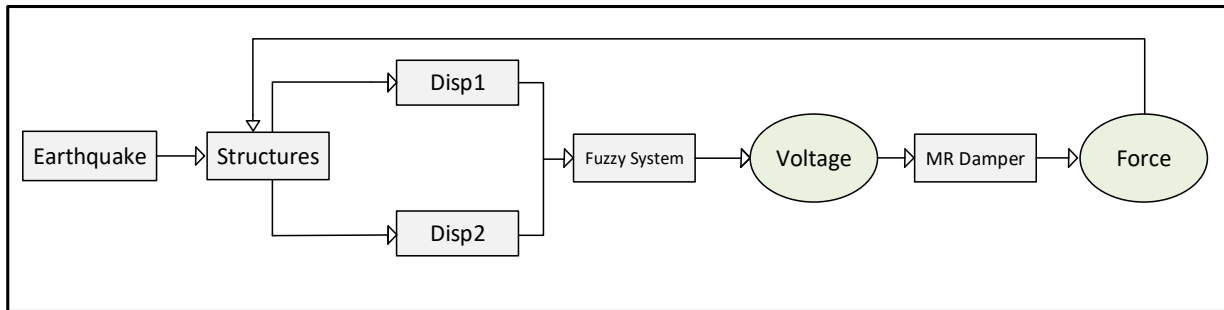


Fig. 4. Procedure of dynamic analysis

فازی با نام FIS هفت مجموعه فازی برای پارامترهای ورودی با نام‌های PL, PS, PM, NL, NM, NS, ZE, VS, S, M, L, VL در نظر گرفته شده است که متغیرهای زبانی مربوط به مجموعه‌های ورودی و خروجی به ترتیب در جداول (۲) و (۳) ارائه شده است. برای تغییر مکان به عنوان یک متغیر ورودی، P و N از مقادیر مثبت و منفی استفاده می‌کنند.

به دلیل سادگی ایجاد ارتباط بین دو نرم افزار MATLAB و OpenSees، برای پیاده‌سازی الگوریتم منطق فازی و محاسبه نیروی کنترلی از نرم افزار MATLAB بطور موازی با نرم‌افزار OpenSees و به صورت لینک شده است. همان گونه که در شکل (۴) نشان داده شده است، در فرایند اعمال سیستم کنترلی روی سازه‌های مجاور، با استفاده از داده‌های جابه جایی سازه‌ها در تراز طبقه بام سازه کوچک‌تر به عنوان ورودی سیستم فازی، ولتاژ اعمالی به میراگر محاسبه می‌شود. نیروی کنترلی محاسبه شده در نرم افزار MATLAB، به سازه‌ها اعمال می‌شود و تحلیل یک گام به جلو برده می‌شود. مراحل ذکر شده به این صورت در یک حلقه و تا پایان اعمال گام‌های تحلیل تکرار می‌شوند.

توابع عضویت و همچنین قوانین فازی از عوامل تاثیرگذار در عملکرد سیستم فازی هستند. در این مطالعه از یک سیستم فازی با نام FIS استفاده شده که قوانین فازی تعریف شده برای سیستم کنترلی در جدول (۱) نمایش داده شده است. مقادیر ورودی برای سیستم‌های FIS، جابه‌جایی طبقه سوم سازه سه طبقه و نه طبقه هستند که با DISP2 و DISP1 در جداول مربوط به قوانین فازی سیستم نشان داده شده‌اند. در الگوریتم

شکل ۵. روند کلی سیستم فازی نوع ۱

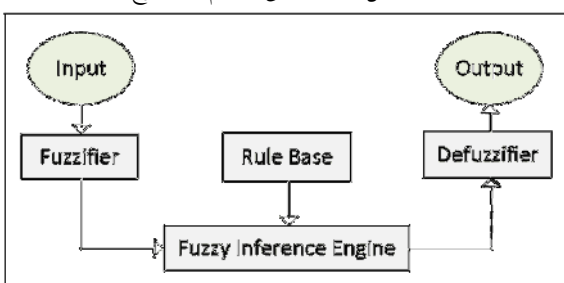


Fig. 5. Overall layout of fuzzy system

شکل ۷. توابع عضویت برای متغیر خروجی ولتاژ

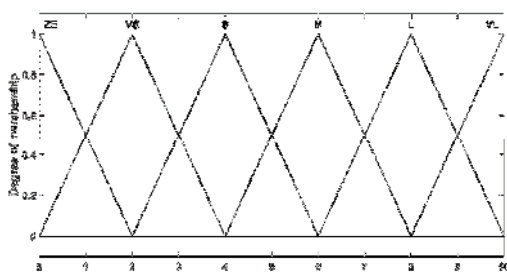


Fig. 7. Membership functions of voltage

#### ۴- بررسی نتایج عددی

برای ارزیابی عملکرد سیستم کنترلی، سازه‌ها تحت اثر تحریک لرزه‌ای زلزله‌های نشان داده شده در جدول (۴) قرار گرفته‌اند و برای بررسی رفتاری سیستم کنترلی در مقادیر مختلف بیشینه شتاب<sup>۱</sup> رکوردهای زلزله، آنالیز تاریخچه زمانی فرایانده<sup>۲</sup> در نظر گرفته شده است. در شکل (۸ و ۹) رفتار هیستوگرام میراگر با توجه به جابه‌جایی و سرعت میراگر تحت زلزله کرن کانتی نشان داده شده است. همچنین برای ارزیابی تاثیر استفاده از میراگر سیال مغناطیسی به عنوان یک وسیله کنترلی، معیارهای ارزیابی مربوط به بیشترین جابه‌جایی، شتاب، برش پایه، تغییر مکان جانبی و همچنین خطر برخورد دو سازه با یکدیگر همان گونه که در جدول (۵) نشان داده شده است، مورد بررسی قرار می‌گیرند. معیارهای ارزیابی معرفی شده در واقع نسبت پاسخ‌های سازه‌ها در حالت کنترل شده به حالت کنترل نشده هستند.

جدول ۴. جزئیات رکورد زلزله‌های استفاده شده در تحلیل‌های تاریخچه زمانی

Earthquake	Type	Station	PGA(g)
El Centro	Far-field	El Centro Array #9	0.28
Kern County	Far-field	Taft Lincoln School	0.18
kobe	Near-field	KIMA	0.83
Northridge	Near-field	Sylmar - Olive	0.84

Table 4. Details for earthquake records used for time-history analysis

جدول ۱. قوانین استنتاجی فازی برای سیستم فازی

DISP2							
DISP1	NL	NM	NS	ZE	PS	PM	PL
NL	ZE	VS	S	M	L	VL	VL
NM	VS	S	S	M	L	L	VL
NS	S	S	S	M	M	M	L
ZE	M	M	M	ZE	M	M	M
PS	L	M	M	M	S	S	S
PM	VL	L	L	M	S	S	VS
PL	VL	VL	L	M	S	VS	ZE

Table 1. Fuzzy rule base for fuzzy system

جدول ۲. توصیف متغیرهای زبانی برای جابه‌جایی

Linguistic variable	Definition
NL	Negative large
NM	Negative medium
NS	Negative small
ZE	Zero
PS	Positive small
PM	Positive medium
PL	Positive large

Table 2. Description of fuzzy variables for displacement

جدول ۳. توصیف متغیرهای زبانی برای ولتاژ

Linguistic variable	Definition
ZE	Zero
S	Small
M	Medium
L	Large
VL	Very Large

Table 3. Description of fuzzy variables for voltage

در شکل‌های (۶ و ۷)، جزئیات مربوط به متغیرهای ورودی و خروجی سیستم کنترلی FIS با تابع عضویت مثلثی به ترتیب نشان داده شده است.

شکل ۶. توابع عضویت برای متغیر ورودی جابه‌جایی

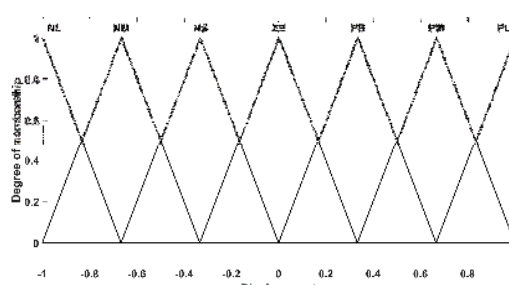


Fig. 6. Membership functions of displacement

جدول ۵. معیارهای ارزیابی عملکرد سیستم کنترلی

criterion	equation	title
$J_1$	$\frac{\max x_c(t) }{\max x_{un}(t) }$	Displacement of roof story
$J_2$	$\frac{\max \ddot{x}_c(t) }{\max \ddot{x}_{un}(t) }$	Acceleration of 9th story
$J_3$	$\frac{\max V_c(t) }{\max V_{un}(t) }$	Base shear of structure
$J_4$	$\frac{\max d_c(t) }{\max d_{un}(t) }$	Relative displacement of structure
$J_5$	$\frac{\max \Delta_c(t)}{\max \Delta_{un}(t)}$	Minimum required gap

Table 5. The performance criteria as ratio of maximum responses of controlled system to that of uncontrolled system

کلی می‌توان نتیجه گرفت که سیستم کنترلی طراحی شده تحت زلزله‌های حوزه دور در مقایسه با زلزله‌های حوزه نزدیک، عملکرد مناسب‌تری در کاهش پاسخ‌های دور سازه از خود نشان داده است. همانطور که در شکل (۲۵) مشاهده می‌شود، سیستم فازی مورد استفاده تحت زلزله‌های حوزه دور نسبت به زلزله‌های حوزه نزدیک و بر اساس معیارهای ارزیابی  $J_1$  و  $J_2$  در ترتیب  $J_3$  و  $J_4$  به ترتیب در سازه سه‌طبقه  $17/35$ ،  $4/94$ ،  $3/58$ ،  $12/17$  درصد و در سازه نه‌طبقه  $7/93$ ،  $7/05$ ،  $0/67$  درصد عملکرد بهتری از خود نشان داده است. همچنین بر اساس معیار ارزیابی  $J_5$  سیستم فازی مورد استفاده تحت زلزله‌های حوزه دور نسبت به حوزه نزدیک،  $9/71$  درصد احتمال برخورد دو سازه با یکدیگر را کاهش داده است. علت این اتفاق، محتوای فرکانسی متفاوت زلزله‌های حوزه دور و نزدیک و وجود پالس‌های شدید در ابتدای رکورد زلزله‌های حوزه نزدیک است.

شکل ۸. رفتار هیستریزیس میراگر تحت زلزله کرن کانتی (نیرو-جایه جایی)

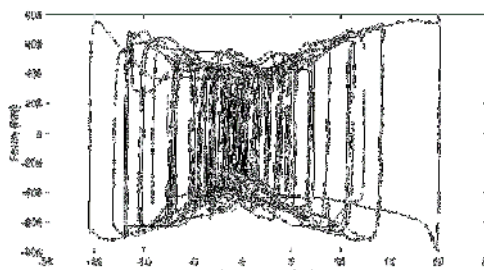


Fig. 8. Hysteresis behavior of the damper under Kern-County earthquake (Force-Displacement)

شکل ۹. رفتار هیستریزیس میراگر تحت زلزله کرن کانتی (نیرو-سرعت)

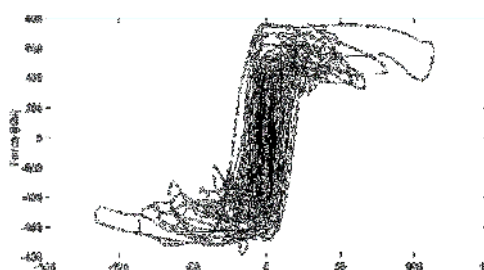
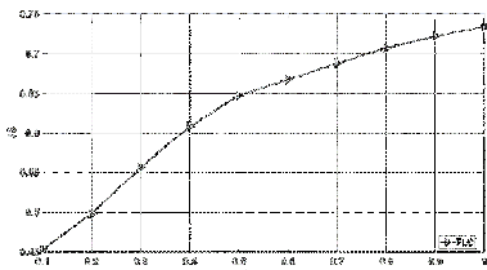


Fig. 9. Hysteresis behavior of the damper under Kern-County earthquake (Force-Velocity)

میانگین مقادیر معیارهای ارزیابی معرفی شده تحت چهار زلزله و در بیشینه‌شتاب‌های مختلف برای سازه‌های سه و نه طبقه در شکل (۱۰ تا ۱۴) نشان داده شده‌اند. با بررسی و مقایسه عملکرد سیستم‌های کنترل مختلف می‌توان نتیجه گرفت که به طور کلی سیستم کنترلی فازی در بهبود عملکرد لرزه‌ای سازه‌ها حین اعمال رکورد زلزله و همچنین کاهش خطر برخورد دو سازه با یکدیگر موثر واقع شده است که این موضوع در بیشینه‌شتاب‌های مختلف قابل مشاهده است. بنابراین و با توجه به تحلیل‌های دینامیکی انجام شده در بیشینه‌شتاب‌های مختلف به طور کلی می‌توان نتیجه گرفت که سیستم کنترل توانسته است در بیشینه‌شتاب‌های مختلف عملکرد مناسبی از خود نشان دهد. علاوه بر این مشاهده می‌شود که نیروی کنترلی به دست آمده از سیستم فازی معرفی شده، در کاهش پاسخ‌های سازه سه طبقه نسبت به سازه سه‌طبقه، موثرتر بوده است.

به طور متوسط، معیار ارزیابی  $J_1$  با استفاده از سیستم کنترل فازی برای سازه سه‌طبقه تحت زلزله‌های حوزه دور،  $31/13$  درصد و تحت زلزله‌های حوزه نزدیک  $15/02$  و  $7/08$  درصد کاهش یافته است در حالیکه این مقدار برای سازه سه طبقه تحت زلزله‌های حوزه دور و نزدیک به ترتیب  $4/94$  و  $3/58$  است که نشانگر تاثیرپذیری بیشتر سازه سه طبقه نسبت به سازه سه‌طبقه از سیستم کنترلی مورداستفاده است. مقایسه سایر معیارهای ارزیابی و همچنین سیستم‌های کنترل نسبت به یکدیگر برای دو سازه در شکل (۲۵) نشان داده شده است. به صورت

شکل ۱۴. مقادیر میانگین معیار ارزیابی  $J_5$  برای چهار زلزلهFig. 14. Mean values of performance criteria of  $J_5$  for four earthquakes

در شکل‌های (۱۵ تا ۱۸)، مقادیر بیشینه جابه‌جایی طبقات دو سازه تحت ۰.۵g زلزله‌های مورد استفاده در دو حالت کترل نشده و کترل شده، نشان داده شده است. همان‌گونه که مشاهده می‌شود، سیستم کترل فازی به خوبی توانسته است مقادیر حداکثر جابه‌جایی تمامی طبقات سازه‌ها را در مقایسه با حالت کترل نشده کاهش دهد که این موضوع در زلزله‌های حوزه دور و به ویژه در سازه سه‌طبقه مشهودتر است.

شکل ۱۵. بیشترین جابه‌جایی طبقات دو سازه تحت زلزله استرو در بیشینه شتاب ۰.۵g

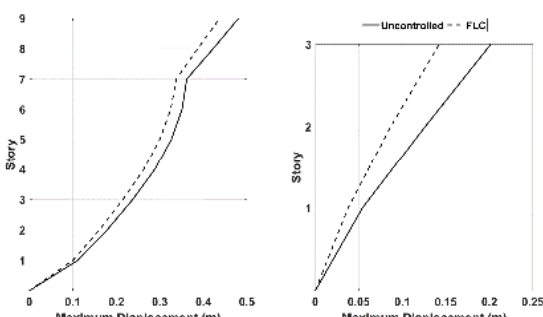


Fig. 15. Distribution of maximum floor displacement, El Centro, PGA=0.5g

شکل ۱۶. بیشترین جابه‌جایی طبقات دو سازه تحت زلزله کرن کانتی در بیشینه شتاب ۰.۵g

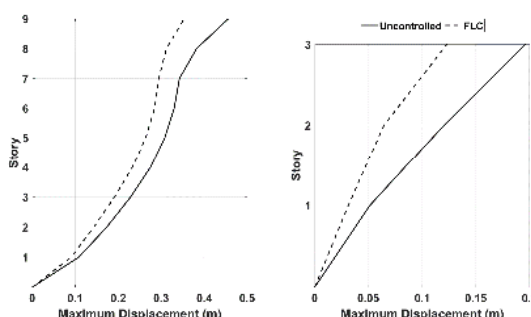
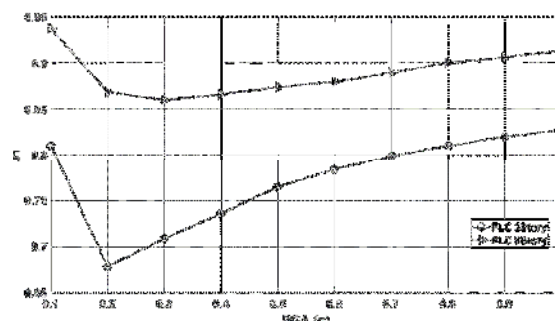
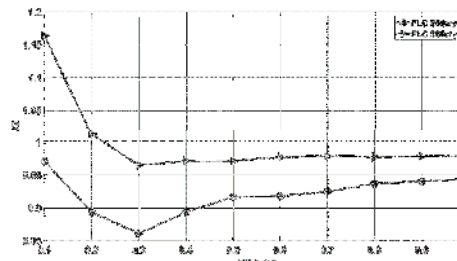
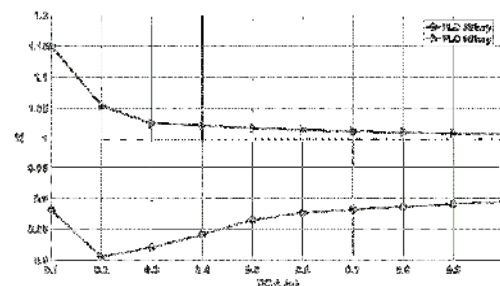
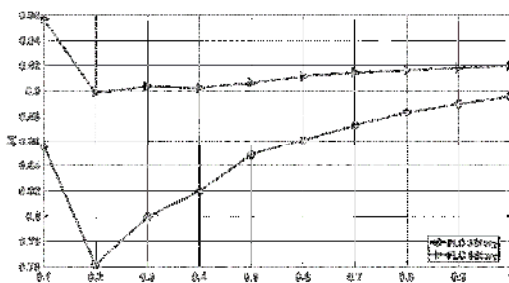


Fig. 16. Distribution of maximum floor displacement, Kern County, PGA=0.5g

شکل ۱۰. مقادیر میانگین معیار ارزیابی  $J_1$  برای چهار زلزلهFig. 10. Mean values of performance criteria of  $J_1$  for four earthquakesشکل ۱۱. مقادیر میانگین معیار ارزیابی  $J_2$  برای چهار زلزلهFig. 11. Mean values of performance criteria of  $J_2$  for four earthquakesشکل ۱۲. مقادیر میانگین معیار ارزیابی  $J_3$  برای چهار زلزلهFig. 12. Mean values of performance criteria of  $J_3$  for four earthquakesشکل ۱۳. مقادیر میانگین معیار ارزیابی  $J_4$  برای چهار زلزلهFig. 13. Mean values of performance criteria of  $J_4$  for four earthquakes

محل اتصال میراگر کاهش پاسخ‌ها مشهودتر است که این عامل خود در کاهش احتمال برخورد دو سازه تاثیرگذار است. علاوه بر این در شکل (۲۵) نموداری مقایسه‌ای از میانگین بهبود پاسخ‌های دو سازه تحت زلزله‌های حوزه دور و نزدیک و همچنین تفاوت عملکرد سیستم کترلی تحت زلزله‌های حوزه دور و نزدیک ارائه شده است. با توجه به این شکل نتایج تحلیل ها نشان می‌دهد که از دیدگاه کاهش احتمال برخورد سازه‌ها (معیار J5)، سیستم کترل فازی مورداستفاده در این تحقیق، تحت زلزله‌های حوزه دور نسبت به حوزه نزدیک، ۹/۷۱ درصد عملکرد بهتری از خود نشان داده است. با توجه به نتایج به دست آمده از تحلیل دینامیکی، سیستم فازی مورد استفاده تحت زلزله‌های حوزه دور در مقایسه با زلزله‌های حوزه نزدیک و بر اساس معیارهای ارزیابی J1 (بیشترین تغییر مکان طبقه بام)، J2 (بیشترین شتاب طبقه بام)، J3 (بیشترین برش پایه) و J4 (بیشترین جابه‌جایی نسی طبقات) در ساختمان سه طبقه به ترتیب ۳۵/۱۷، ۱۷/۱۷، ۳/۵۸، ۴/۹۴ درصد و در ساختمان نه طبقه ۹۳/۷، ۰/۶۷، ۰/۰۵ درصد عملکرد بهتری را نشان داده است.

شکل ۱۹. تغییر مکان طبقه آخر سازه سه طبقه تحت زلزله استرو در بیشینه شتاب ۰.۵g

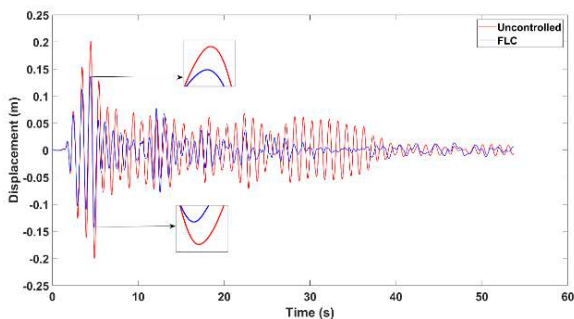


Fig. 19. The roof displacement for the 3-story structure under the El Centro earthquake, PGA = 0.5g

شکل ۱۷. بیشترین جابه‌جایی طبقات دو سازه تحت زلزله کوبه در بیشینه شتاب ۰.۵g

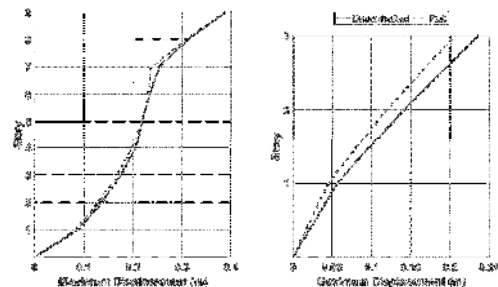


Fig. 17. Distribution of maximum floor displacement, Kobe, PGA=0.5g

شکل ۱۸. بیشترین جابه‌جایی طبقات دو سازه تحت زلزله نورثریج در بیشینه شتاب ۰.۵g

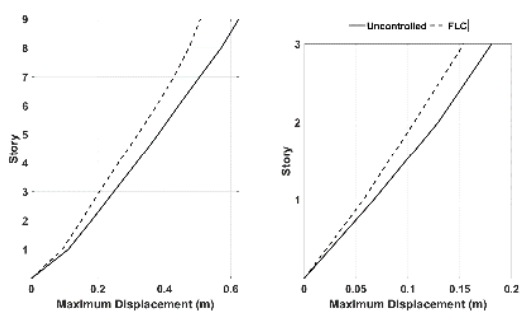


Fig. 18. Distribution of maximum floor displacement, Northridge, PGA=0.5g

همچنین در شکل (۱۹) تا (۲۲)، تاریخچه زمانی جابه‌جایی طبقه بام دو سازه تحت زلزله استرو (حوزه دور) و زلزله کوبه (حوزه نزدیک) در بیشینه شتاب ۰.۵g نشان داده شده است. همان‌گونه که در شکل‌ها مشخص شده است، سیستم‌های کترلی به خوبی توانسته‌اند مقادیر بیشترین جابه‌جایی طبقه بام سازه سه و نه طبقه را کاهش دهند که این موضوع تحت زلزله‌های حوزه دور مشهودتر است.

در شکل‌های (۲۳) و (۲۴) تاریخچه زمانی جابه‌جایی تمامی طبقات دو سازه تحت زلزله‌های حوزه دور و نزدیک نشان داده شده است که می‌توان نتیجه گرفت که اتصال دو سازه با میراگر سیال مغناطیسی و کترل نیروی میراگر توسط الگوریتم فازی اشاره شده باعث بهبود پاسخ دو سازه در تمامی طبقات شده است. علاوه بر این مشاهده می‌شود که تحت زلزله‌های حوزه دور، یکنواختی بیشتری در عملکرد سیستم کترلی در کاهش جابه‌جایی طبقات وجود دارد. همچنین در طبقات نزدیک به

شکل ۲۳. درصد بهبود جایه‌جایی طبقات تحت زلزله‌های حوزه دور و نزدیک در سازه سه‌طبقه

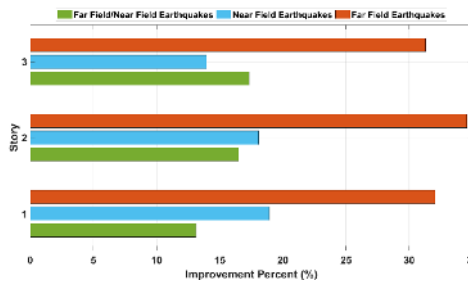


Fig. 23. The improvement percentages of displacements for the 3-story structure under far and near-field earthquakes

شکل ۲۴. درصد بهبود جایه‌جایی طبقات تحت زلزله‌های حوزه دور و نزدیک در سازه نه‌طبقه

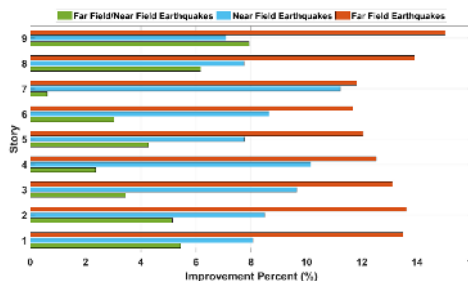


Fig. 24. The improvement percentages of displacements for the 9-story structure under far and near-field earthquakes

شکل ۲۵. درصد بهبود معیارهای ارزیابی تحت زلزله‌های حوزه دور و نزدیک

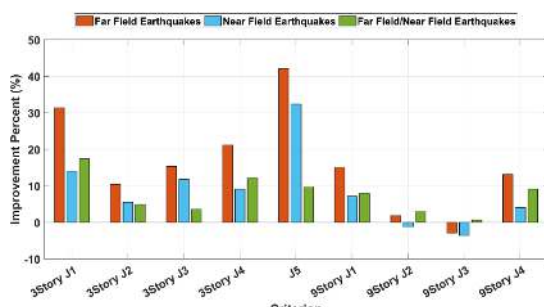


Fig. 25. The improvement percentages of proposed fuzzy system under far and near-field earthquakes

## ۵- نتیجه‌گیری

در این مطالعه، برای بررسی عملکرد میراگر سیال مغناطیسی با استفاده از سیستم کنترل فازی، سازه‌های معیار سه و نه طبقه تحت تحریک لرزه‌ای دو زلزله حوزه نزدیک و دو زلزله حوزه دور با بیشینه شتاب های  $0.1g$  تا  $1g$  مورد بررسی قرار گرفته اند. میراگر سیال مغناطیسی در تراز طبقه سوم دو سازه متصل

شکل ۲۰. تغییرمکان طبقه آخر سازه سه طبقه تحت زلزله کوبه در بیشینه

شتاب  $0.5g$

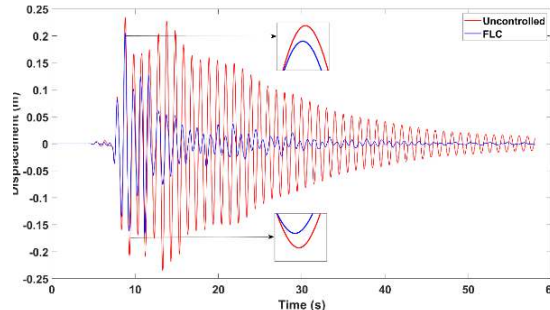


Fig. 20. The roof displacement for the 3-story structure under the Kobe earthquake, PGA =  $0.5g$

شکل ۲۱. تغییرمکان طبقه آخر سازه نه طبقه تحت زلزله ال‌سنترو در بیشینه

شتاب  $0.5g$

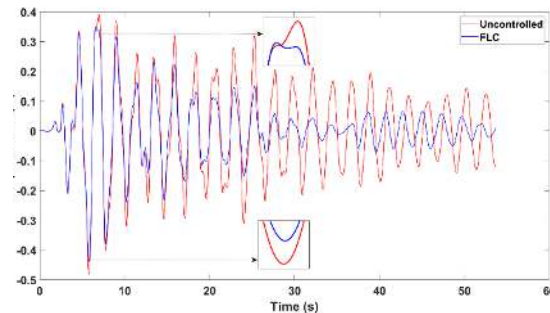


Fig. 21. The roof displacement for the 9-story structure under the El Centro earthquake, PGA =  $0.5g$

شکل ۲۲. تغییرمکان طبقه آخر سازه نه طبقه تحت زلزله کوبه در بیشینه

شتاب  $0.5g$

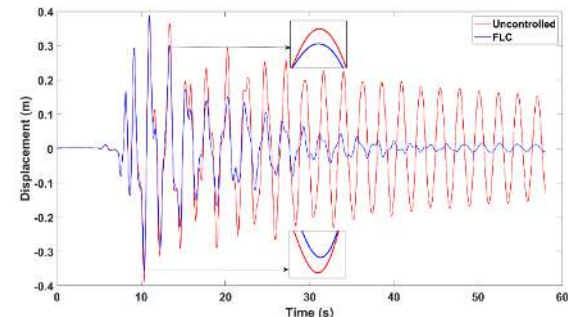


Fig. 22. The roof displacement for the 9-story structure under the El Centro earthquake, PGA =  $0.5g$

- no. 16, pp. 1811–1827, 2011.
- [7] M. E. Uz and M. N. S. Hadi, “Optimal design of semi active control for adjacent buildings connected by MR damper based on integrated fuzzy logic and multi-objective genetic algorithm,” *Eng. Struct.*, vol. 69, pp. 135–148, Jun. 2014.
- [8] M. K. Shrimali, S. D. Bharti, and S. M. Dumne, “Seismic response analysis of coupled building involving MR damper and elastomeric base isolation,” *Ain Shams Eng. J.*, vol. 6, no. 2, pp. 457–470, Jun. 2015.
- [9] M. Abdeddaim, A. Ounis, S. D. Bharti, and M. K. Shrimali, “Seismic retrofitting using the concept of coupling two adjacent buildings,” in *Lecture Notes in Civil Engineering*, vol. 12, Springer, 2019, pp. 355–363.
- [10] O. A. S. Al-Fahdawi, L. R. Barroso, and R. W. Soares, “Utilizing the Adaptive Control in Mitigating the Seismic Response of Adjacent Buildings Connected with MR Dampers,” in *Proceedings of the American Control Conference*, 2018, vol. 2018-June, pp. 912–917.
- [11] M. Azimi and A. M. Yeznabad, “Swarm-based parallel control of adjacent irregular buildings considering soil-structure interaction,” *J. Sens. Actuator Networks*, vol. 9, no. 2, Jun. 2020.
- [12] O. Yoshida and S. J. Dyke, “Seismic Control of a Nonlinear Benchmark Building Using Smart Dampers,” *J. Eng. Mech.*, vol. 130, no. 4, pp. 386–392, 2004.
- [13] S. Y. Ok, D. S. Kim, K. S. Park, and H. M. Koh, “Semi-active fuzzy control of cable-stayed bridges using magneto-rheological dampers,” *Eng. Struct.*, vol. 29, no. 5, pp. 776–788, 2007.
- [14] M. Abdeddaim, A. Ounis, N. Djedoui, and M. K. Shrimali, “Reduction of pounding between buildings using fuzzy controller,” *Asian J. Civ. Eng.*, vol. 17, no. 7, pp. 985–1005, 2016.

شده است و ظرفیت تولید نیروی کترلی معادل ۱۰۰۰ کیلونیوتن را دارد. سیستم فازی بر اساس جابه‌جایی طبقه سوم دو سازه با هدف کاهش خطر برخورد سازه‌ها و همچنین کاهش پاسخ‌های لرزه‌ای طراحی شده است. به صورت کلی سیستم کترلی طراحی شده تحت زلزله‌های حوزه دور در مقایسه با زلزله‌های حوزه نزدیک، عملکرد مناسب‌تری در کاهش پاسخ‌های دو سازه از خود نشان داده است. با توجه به نتایج بدست‌آمده از تحلیل-های دینامیکی، سیستم فازی مورد استفاده تحت زلزله‌های حوزه دور نسبت به زلزله‌های حوزه نزدیک و بر اساس معیارهای ارزیابی J1 (بیشینه جابه‌جایی طبقه بام)، J2 (بیشینه شتاب طبقه بام)، J3 (بیشینه برش پایه) و J4 (بیشترین جابه‌جایی نسبی طبقات) به ترتیب در سازه سه‌طبقه با مقدار ۳/۵۸، ۴/۹۴، ۱۷/۳۵ و ۱۲/۱۷ درصد و در سازه نه‌طبقه ۰/۶۷، ۷/۰۵، ۷/۹۳ درصد ۹/۱۳ عملکرد بهتری از خود نشان داده است. همچنین بر اساس معیار ارزیابی J5 که مربوط به کمترین فاصله موردنیاز بین دو سازه است، سیستم فازی مورد استفاده تحت زلزله‌های حوزه دور نسبت به حوزه نزدیک، ۹/۷۱ درصد عملکرد بهتری از خود نشان داده است.

## مراجع

- [1] W. L. Qu and Y. L. Xu, “Semi-active control of seismic response of tall buildings with podium structure using ER/MR dampers,” *Wiley Online Libr.*, vol. 10, no. 3, pp. 179–192, Sep. 2001.
- [2] Y. Ni, H. Liu, J. K. M. 2002, “Experimental investigation on seismic response control of adjacent buildings using semi-active MR dampers,” *spiedigitallibrary.org*.
- [3] S. Bharti, S. Dumne, M. Shrimali. 2010, “Seismic response analysis of adjacent buildings connected with MR dampers,” *Elsevier*.
- [4] M. Shahidzade, H. Tarzi. 2011, “Takagi-Sugeno fuzzy control of adjacent structures using MR dampers,” *ui.adsabs.harvard.edu*.
- [5] G. C. Kim and J. W. Kang, “Seismic response control of adjacent building by using hybrid control algorithm of MR damper,” *Procedia Eng.*, vol. 14, pp. 1013–1020, 2011.
- [6] G. B. Motra, W. Mallik, and N. K. Chandramani, “Semi-active vibration control of connected buildings using magnetorheological dampers,” *J. Intell. Mater. Syst. Struct.*, vol. 22,

# Fuzzy semi-active control of adjacent buildings connected with MR dampers under far and near-field earthquakes

Mohsen Bahmaei<sup>1</sup>, Seyed Mehdi Zahrai<sup>2\*</sup>

1. M.Sc. of Structural Engineering, University of Tehran.

2. Professor, School of Civil Engineering, College of Engineering, University of Tehran.

mzahrai@ut.ac.ir

## Abstract

Damages caused by the impact of adjacent structures in past major earthquakes have shown the importance of structural control systems to reduce the seismic risk of the impact of structures. Connecting energy dissipation devices to adjacent buildings is a practical and effective approach to prevent collisions as well as reduce the seismic responses of structures, and this issue has been an active research field in recent years. One of the semi-active control methods is the use of MR dampers. These dampers use a magnetic fluid that produces large damping forces in a piston-cylinder system that can be controlled instantly by changing the applied voltage to the damper. The Bouc-wen model has been used to take advantage of the unique properties of MR damper as well as to consider its inherent nonlinear behavior. In this study, to evaluate the performance of MR dampers using a fuzzy control system, three- and nine-story standard structures under seismic excitation of two near-field earthquakes including the Kobe (1995) and Northridge (1994) and two far-field earthquakes including the El Centro (1940) and Kern County (1952) with maximum accelerations of 0.1g to 1g are investigated.

The MR damper is connected to the third floor of those two structures and can produce a controlled force equivalent to 1000 kN. The fuzzy system is designed based on the displacement of the third floor of two structures to reduce the risk of collision of structures as well as reduce seismic responses. The benchmark buildings have been modeled in OpenSees and the fuzzy control system was implemented in MATLAB software. The displacement responses of the third floor of structures are considered as the input value of the fuzzy system and the required voltage of MR damper is considered as the output value of the fuzzy system. In addition, triangular membership functions have been used to determine the degree of membership of input values.

In general, the control system designed under far-field earthquakes has shown better performance in reducing the responses of two structures compared to near-field earthquakes. According to the results obtained from the dynamical analysis, the fuzzy system used under far-field earthquakes compared to near-field earthquakes and based on evaluation criteria of J1 (maximum roof displacement), J2 (maximum roof acceleration), J3 (maximum base shear) and J4 (maximum relative displacement of floors) in three-story building 17.35, 4.94, 3.58, 12.17% and in nine-story building 7.93, 7.05, 0.67, 9.13% showed better performance, respectively. Also, according to the evaluation criterion of J5, which is related to the minimum required gap between two buildings, the fuzzy system used under far-field earthquakes has shown 9.71% better performance than near-field earthquakes.

**Keywords:** Vibration Control, Semi-active Control, MR Damper, Fuzzy Control Systems, Adjacent Buildings